

ИЗМЕРИТЕЛЬНАЯ ТЕХНИКА

О. Н. ГАСПАРЯН, Г. Г. ЕГИАЗАРЯН

О ДИНАМИЧЕСКОЙ ТОЧНОСТИ МНОГОСВЯЗНЫХ
 СЛЕДЯЩИХ СИСТЕМ

Среди систем автоматического управления важный и широкий класс составляют многосвязные системы. К этому классу относятся электромеханические счетно-решающие устройства, системы углового сопровождения радиоантенн, пространственной ориентации и стабилизации летательных аппаратов и ряд других [1—4]. При этом наиболее часто встречаются системы, которые характеризуются жесткими взаимными связями между сепаратными (отдельными) каналами или связями, передаточные функции которых отличаются только коэффициентами передачи [4].

Указанным системам соответствует матричная структурная схема, приведенная на рис. 1, где $R = \|r_{ij}\|$, $M = \|m_{ij}\|$ — квадратные матрицы взаимных связей; $\text{diag}\{W_i(p)\}$ — диагональная матрица передаточных функций сепаратных каналов; $\bar{\varphi}_{вх}(p)$, $\bar{\varphi}_{вых}(p)$, $\bar{\varepsilon}(p)$ — изображения по Лапласу векторов входа, выхода и ошибки системы, соответственно.

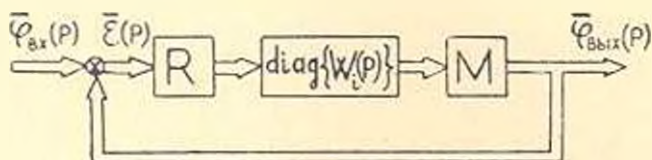


Рис. 1.

Впервые вопросы точности многосвязных систем были рассмотрены в работе [9]. В дальнейшем они получили обобщение в [1—3]. Однако в этих работах в выражении вектора ошибки системы отсутствует явная связь с параметрами сепаратных каналов и матрицами взаимных связей. Поэтому практическое использование результатов, приведенных в [1—3, 9], крайне затруднительно, а в некоторых случаях невозможно. Результаты, лишенные указанных недостатков для систем с одинаковым порядком астатизма и сепаратных каналов, получены в работе [5], где предложена методика определения матрицы коэффициентов ошибок по аналогии с методикой Л. Г. Кинга для одномерных систем. Приведенные в [5] формулы просты и выражаются в явном

виде через параметры системы, но для матриц высших коэффициентов ошибок являются приближенными.

В данной статье проводится строгий анализ точности трехканальной следящей системы (ТСС) с жесткими взаимными связями между сепаратными каналами, передаточные функции которых имеют произвольный вид.

Рассмотрим взаимосвязанную ТСС с порядком астатизма $r \geq 1$ в сепаратных каналах. Матричная структурная схема системы приведена на рис. 1. Передаточные функции сепаратных каналов $W_i(p)$ ($i = 1, 2, 3$) различны и имеют в общем случае вид

$$W_i(p) = \frac{\sum_{k=0}^m a_k p^k}{\sum_{k=1}^n b_k p^k}, \quad m \leq n, \quad (1)$$

где в зависимости от порядка астатизма этих каналов соответствующие коэффициенты B_k равны нулю.

Матричная передаточная функция системы по ошибке равна [1]

$$\Phi_s(p) = [J + M \operatorname{diag} \{W_i(p)\} R]^{-1}. \quad (2)$$

Согласно [2], [5] выражение (2) при малых p можно представить в виде

$$\Phi_s(p) = \sum_{i=0}^{\infty} C_i p^i, \quad (3)$$

где C_i — матрицы коэффициентов ошибок ТСС по отношению к $\bar{\varphi}_{\text{вх}}(p)$. С учетом (3) изображение вектора ошибки ТСС равно

$$\bar{\varepsilon}(p) = \Phi_s(p) \bar{\varphi}_{\text{вх}}(p) = \left[\sum_{i=0}^{\infty} C_i p^i \right] \bar{\varphi}_{\text{вх}}(p). \quad (4)$$

Применяя к выражению (4) обратное преобразование Лапласа, получим оригинал

$$\bar{\varepsilon}(t) = \sum_{i=0}^{\infty} C_i \frac{d^i \bar{\varphi}_{\text{вх}}(t)}{dt^i}. \quad (5)$$

Таким образом, вектор ошибки системы может быть определен, если известен вектор входного воздействия $\bar{\varphi}_{\text{вх}}(t)$, его производные и матрицы коэффициентов ошибок C_i . Матрицы C_i можно вычислить при помощи рекуррентных соотношений [5]

$$C_0 = \lim_{p \rightarrow 0} [\Phi_s(p)], \quad (6)$$

$$C_i = \lim_{p \rightarrow 0} \frac{1}{p^i} \left[\Phi_s(p) - \sum_{k=0}^{i-1} C_k p^k \right], \quad i = 1, 2, 3, \dots$$

Перейдем к определению матрицы коэффициентов ошибок C_i . Для этого преобразуем матричную структурную схему исходной системы (рис. 1) к эквивалентному виду (рис. 2).

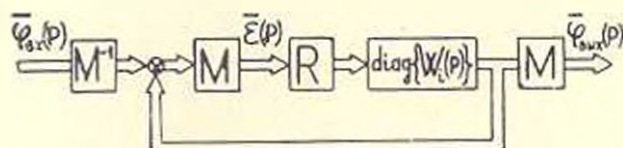


Рис. 2.

В этом случае матричная передаточная функция по ошибке равна

$$\Phi_i(p) = M [I + \text{diag}\{W_i(p)\} R M]^{-1} M^{-1}. \quad (7)$$

Представим выражение (7) в виде произведения двух матриц, одна из которых диагональная [1], [5]:

$$\Phi_i(p) = M U^{-1}(p) \text{diag} \left\{ \frac{1}{1 + m_{ii} r_{ii} W_i(p)} \right\} M^{-1}, \quad (8)$$

где матрица $U(p)$ равна $U(p) = [u_{ij}(p)]$.

Здесь

$$[u_{ij}(p)] = \begin{cases} \frac{1 + W_i(p) \sum_{k=1}^3 r_{ik} m_{kj}}{1 + m_{ii} r_{ii} W_i(p)}, & i = j, \\ \frac{W_i(p) \sum_{k=1}^3 r_{ik} m_{kj}}{1 + m_{ii} r_{ii} W_i(p)}, & i \neq j. \end{cases} \quad (9)$$

$i, j = 1, 2, 3$

Предел матрицы $U^{-1}(p)$ при $p \rightarrow 0$ существует и равен

$$U^{-1}(0) = M^{-1} R^{-1} \text{diag}\{r_{ii} m_{ii}\}. \quad (10)$$

После подстановки (8) в (6) получим

$$C_0 = \lim_{p \rightarrow 0} \left[M U^{-1}(p) \text{diag} \left\{ \frac{1}{1 + m_{ii} r_{ii} W_i(p)} \right\} M^{-1} \right], \quad (11)$$

$$C_i = \lim_{p \rightarrow 0} \frac{1}{p^\delta} \left[M U^{-1}(p) \text{diag} \left\{ \frac{1}{1 + m_{ii} r_{ii} W_i(p)} \right\} M^{-1} \sum_{l=0}^{i-1} C_l p^l \right],$$

$$\delta = 1, 2, 3, \dots$$

Отметим, что представление матричной передаточной функции исходной системы (2) в виде

$$\Phi_i(p) = v^{-1}(p) \operatorname{diag} \left\{ \frac{1}{1 + m_{ii} r_{ii} W_i(p)} \right\}$$

невозможно, т. к. матрица $v^{-1}(p)$ не имеет конечного предела при $p \rightarrow 0$.

Очевидно, первые r матриц коэффициентов ошибок в выражении (11) равны нулю, где r — наименьший порядок астатизма отдельных каналов стабилизации.

Определим первую отличную от нуля матрицу C_r

$$C_r = \lim_{p \rightarrow 0} \frac{1}{p^r} \left\{ M [J + \operatorname{diag} \{ W_i(p) \}] R M^{-1} - \sum_{i=0}^{r-1} C_i p^i \right\} = \\ = M U^{-1}(0) \operatorname{diag} \{ C_{ri} \} M^{-1}, \quad (12)$$

где $\operatorname{diag} \{ C_{ri} \}$ — диагональная матрица r -ых коэффициентов ошибок системы, полученной из исходной взаимосвязанной ТСС приравниванием нулю всех коэффициентов взаимных связей ($r_{ij} = m_{ij} = 0$ при $i \neq j$).

Аналогичным образом определим матрицу C_{r+1}

$$C_{r+1} = \lim_{p \rightarrow 0} \frac{1}{p^{r+1}} \left[M U^{-1}(p) \operatorname{diag} \left\{ \frac{1}{1 + m_{ii} r_{ii} W_i(p)} \right\} M^{-1} - \right. \\ \left. - M U^{-1}(0) \operatorname{diag} \{ C_{ri} \} M^{-1} p^r \right] = \\ = M \left[U^{-1}(0) \operatorname{diag} \{ C_{r+1i} \} + \left(\frac{dU^{-1}(p)}{dp} \right)_{p=0} \operatorname{diag} \{ C_{ri} \} \right] M^{-1}. \quad (13)$$

Можно показать, что в общем случае матрица C_{r+k} имеет вид

$$C_{r+k} = M \left[U^{-1}(0) \operatorname{diag} \{ C_{r+ki} \} + \right. \\ \left. + \sum_{i=1}^k \frac{1}{i!} \left(\frac{d^i U^{-1}(p)}{dp^i} \right)_{p=0} \operatorname{diag} \{ C_{r+i} \} \right] M^{-1}, \quad (14) \\ k = 1, 2, 3, \dots$$

где матрица $\operatorname{diag} \{ C_{r+ki} \}$ определяется так же, как и $\operatorname{diag} \{ C_{ri} \}$ в выражении (12).

Производные матрицы $U^{-1}(p)$ в точке $p = 0$ определяются из (9) следующими рекуррентными формулами

$$\left(\frac{dU^{-1}(p)}{dp} \right)_{p=0} = M^{-1} R^{-1} \operatorname{diag} \left\{ \frac{b_{1i}}{a_{0i}} \right\} M^{-1} R^{-1} (R M - \operatorname{diag} r_{ii} m_{ii}),$$

$$\begin{aligned}
 \left(\frac{d^{\delta} U^{-1}(\rho)}{d\rho^{\delta}} \right)_{\rho=0} &= \delta! M^{-1} R^{-1} \operatorname{diag} \left\{ \frac{1}{a_{\delta i}} \right\} \left[\operatorname{diag} \{ b_{\delta i} \} M^{-1} R^{-1} (RM - \right. \\
 &- \operatorname{diag} \{ r_{ii} m_{ii} \}) - \sum_{j=1}^{\delta-1} (\operatorname{diag} \{ d_{\delta-j} \} RM + \\
 &\left. + \operatorname{diag} \{ b_{\delta-j} \}) \frac{1}{j!} \left(\frac{d^j U^{-1}(\rho)}{d\rho^j} \right)_{\rho=0} \right]. \\
 \delta &= 2, 3, 4, \dots
 \end{aligned} \tag{15}$$

Таким образом, выражения (10), (12), (14) и (15) полностью определяют матрицы коэффициентов ошибок взаимосвязанной ТСС с различными передаточными функциями отдельных каналов через параметры этих каналов и матрицы взаимных связей.

Очевидно, полученные выражения справедливы и для систем с произвольным числом отдельных каналов ($i = 1, 2, \dots, k$).

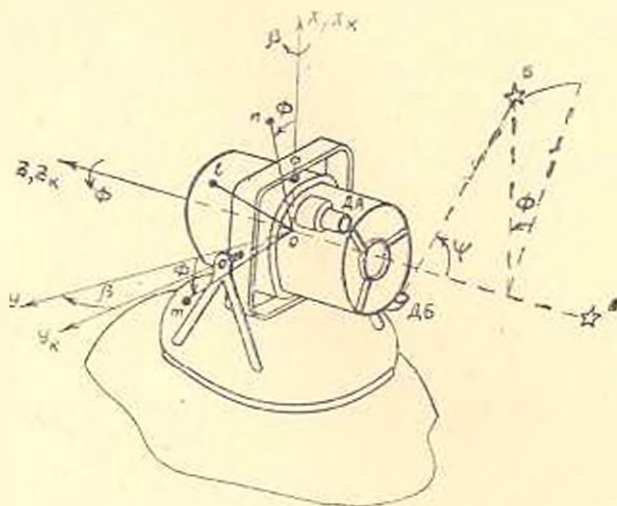


Рис. 3.

В качестве примера рассмотрим ТСС орбитальной астрофизической обсерватории «Орion-2» [10]. На рис. 3 приведена кинематическая схема телескопа обсерватории. Измерение его отклонений относительно инерциального пространства осуществляется с помощью двух опорных звезд А и Б, расположенных под углом $\psi = 63^\circ$.

На звезду А, которая находится в центре исследуемой области, наводится двухкоординатный датчик ДА с полудисковым модулятором светового потока, а на звезду Б — однокоординатный датчик ДБ с анализаторной призмой [10]. Наведение ДБ за звезду Б производится разворотом телескопа относительно оптической оси ОZ на угол захвата Φ . На рис. 3 через α и β обозначены углы наведения телескопа на исследуемую область.

дую звезду A , а через Ox , Oy и Oz — оси чувствительности датчиков.

Структурная схема ТСС обсерватории «Орион-2» показана на рис. 4.

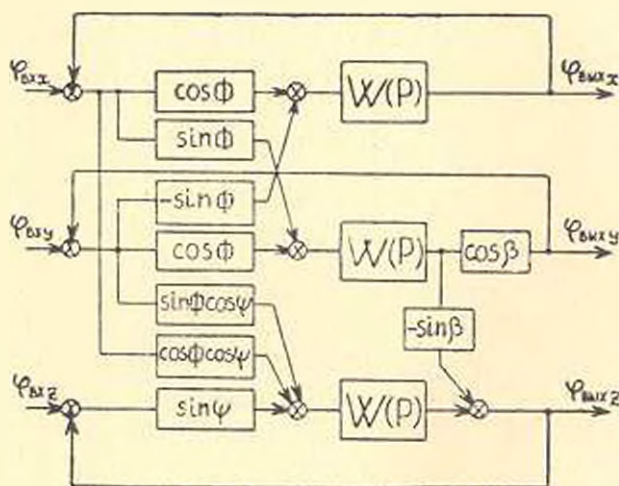


Рис. 4.

Здесь через $W(p)$ обозначены передаточные функции отдельных каналов, а входные воздействия $\varphi_{вхx}(t)$, $\varphi_{вхy}(t)$, $\varphi_{вхz}(t)$, действующие на ТСС телескопа, являются линейно изменяющимися функциями времени $\varphi_{вхx}(t) = \varphi_{вхy}(t) = \varphi_{вхz}(t) = \Omega t$ ($\Omega = 0,01^\circ/c$) [7].

Сепаратные каналы стабилизации имеют первый порядок астатизма и добротности по скорости $K_D = 120^1/c$.

Матрицы взаимных связей R и M , обусловленные несовпадением осей чувствительности датчиков с осями стабилизации $OYXZ$ телескопа и неортогональностью осей карданова подвеса, равны

$$R = \begin{bmatrix} \cos \Phi & -\sin \Phi & 0 \\ \sin \Phi & \cos \Phi & 0 \\ \cos \Phi \cos \Psi & \sin \Phi \cos \Psi & \sin \Psi \end{bmatrix}, \quad M = \begin{bmatrix} 1 & 0 & 0 \\ 0 & \cos \beta & 0 \\ 0 & -\sin \beta & 1 \end{bmatrix}. \quad (16)$$

В соответствии с полученными выше результатами матрица C_0 тождественно равна нулю. Кроме того, учитывая, что производные вектора входного воздействия $\frac{d^n \bar{\varphi}_{вх}(t)}{dt^n}$ при $\bar{\nu} \geq 2$ также равны нулю, вектор установившейся скоростной ошибки можно записать в виде

$$\bar{\varepsilon} = C_1 \frac{d \bar{\varphi}_{вх}(t)}{dt} = \frac{1}{K_D} R^{-1} M^{-1} \frac{d \bar{\varphi}_{вх}(t)}{dt}. \quad (17)$$

где

$$R^{-1} = \begin{bmatrix} \cos \Phi & \sin \Phi & 0 \\ -\sin \Phi & \cos \Phi & 0 \\ \frac{\sin^2 \Phi - \cos^2 \Phi}{\operatorname{tg} \beta} & \frac{2 \sin \Phi \cos \Phi}{\operatorname{tg} \beta} & \frac{1}{\sin \beta} \end{bmatrix}, \quad (18)$$

$$M^{-1} = \begin{bmatrix} 1 & 0 & 0 \\ 0 & \frac{1}{\cos \beta} & 0 \\ 0 & \operatorname{tg} \beta & 1 \end{bmatrix}.$$

Из развернутой структурной схемы (рис. 4) следует, что движения телескопа относительно поперечных осей X и Y являются возмущениями для канала стабилизации Z , причем, обратное влияние отсутствует. Это позволяет представить вектор $\bar{\varepsilon}_1$ ошибки поперечных каналов X, Z на основании (18) в виде

$$\bar{\varepsilon}_1 = \frac{1}{K_0} R_1^{-1} M_1^{-1} \frac{d\bar{\varphi}_{ax}(t)}{dt}, \quad (19)$$

где (2×2) — матрицы R_1^{-1} и M_1^{-1} получаются из (18) вычеркиванием последних строк и столбцов, а векторы $\bar{\varepsilon}_1$ и $\bar{\varphi}_{ax}(t)$ равны

$$\bar{\varepsilon}_1 = [\varepsilon_x, \varepsilon_z], \quad \bar{\varphi}_{ax}(t) = [\varphi_{bx}, \varphi_{bz}].$$

Матрица R_1^{-1} в (19) является матрицей ортогонального преобразования [6] и сохраняет при умножении на векторы их модули.

Поэтому, переходя в (19) к модулям, получим

$$\begin{aligned} |\bar{\varepsilon}_1| &= \frac{1}{K_0} \left| R_1^{-1} M_1^{-1} \frac{d\bar{\varphi}_{ax}(t)}{dt} \right| = \frac{1}{K_0} \left| M_1^{-1} \frac{d\bar{\varphi}_{ax}(t)}{dt} \right| \ll \\ &\ll \frac{1}{K_0} \|M_1^{-1}\| \left| \frac{d\bar{\varphi}_{ax}(t)}{dt} \right| = \frac{2\sqrt{2}}{K_0} \sec \beta, \end{aligned} \quad (20)$$

где через $\|M_1^{-1}\| = \sec \beta$ обозначена спектральная норма матрицы M_1^{-1} [8].

Полученное выражение (20) позволяет сделать вывод, что модуль вектора ошибки поперечных каналов X и Y не зависит от угла захвата Φ опорной звезды B , а зависимость от угла β наведения телескопа на исследуемую звезду A определяется функцией $\sec \beta$.

Подставив в (20) численные значения $2 = 0,01^\circ/c = 36''/c$, $K_0 = 120^\circ/c$, $\beta = 15^\circ$, получим $|\bar{\varepsilon}_1| \ll 0,44''$.

Рассмотрим канал стабилизации Z . Если обозначить третью строку матрицы R^{-1} (18) через \bar{r} , то для ошибки ε_z можно записать

$$|\varepsilon_z| = \frac{1}{K_c} \left| \left\langle \bar{r}, M^{-1} \frac{d\bar{z}_{ms}(t)}{dt} \right\rangle \right| \leq \frac{1}{K_c} |\bar{r}| \cdot |M^{-1}| \cdot \left| \frac{d\bar{z}_{ms}(t)}{dt} \right| =$$

$$= \frac{\Omega \sqrt{3}}{K_c} \left(\frac{\sqrt{1 + \cos^2 \psi}}{\sin \psi} \right) \left(\frac{\sqrt{1 + |\sin \beta|}}{\cos \beta} \right), \quad (21)$$

где $\langle \cdot, \cdot \rangle$ — символ скалярного произведения, $|M^{-1}| = \frac{\sqrt{1 + |\sin \beta|}}{\cos \beta}$ — спектральная норма матрицы M^{-1} , а $|\bar{r}| = \frac{\sqrt{1 + \cos^2 \psi}}{\sin \psi}$ — модуль вектора \bar{r} .

В выражении (21) использовано известное неравенство Коши—Шварца [8].

Как видно из (21), ошибка канала Z также не зависит от угла Φ . Подставив в (21) численные значения, найдем $\varepsilon_z < 0.665''$.

Таким образом, применение полученных выражений в сочетании с аппаратом функционального анализа позволило произвести анализ точности и выявить основные кинематические особенности ТСС обсерватории «Орион-2».

Поступило 20.VII.1978

Ս. Ն. ԿԱՍՊԱՐՅԱՆ, Գ. Գ. ՆՆՍԵՋԱՐՅԱՆ

ՐԱԶՄԱԿԱՊ ՀԵՏԵՎՈՂ ՀԱՄԱԿԱՐԳԻՐԻ ԳՐԱՌՄԻԿ
ՃՇԳՐՏՈՒԹՅԱՆ ՄԱՍԻՆ

Ա մ փ ո փ ո ւ մ

Դիտվում է Երեբկանույացին հետևող համակարգ առանձին կանաչներում տարրեր փոխանցման ֆունկցիաներով և կոշտ փոխադարձ կապերով: Հետադադարում է փոխադարձ կապերի ազդեցությունը համակարգի դինամիկ ճշգրտություն վրա:

Տարածելով Լ. Գ. Քինդի մեթոդիկան բազմակապ համակարգերի վրա, ստացված են սխալների դորմակիցների մատրիցաները, որոնք բացահայտ տեսքով արտահայտված են համակարգի պարամետրերի և փոխադարձ կապերի մատրիցաների միջոցով:

Որպես օրինակ բերվում է «Օրիոն-2» ուղեծրային աստղադիտարանի եռառանցք հետևող համակարգի դինամիկ ճշգրտության անալիզը:

Л И Т Е Р А Т У Р А

1. Морозовский В. Т. Многосвязные системы автоматического регулирования. М., «Энергия», 1970.
2. Бранчук Е. Н. Взаимосвязанные и многоконтурные регулируемые системы. Л., «Энергия», 1968.
3. Месров М. В. Системы многосвязного регулирования. М., «Наука», 1965.
4. Соболев О. С. Однотипные связанные системы регулирования. М., «Энергия», 1973.
5. Гаспарян О. Н. Анализ точности взаимосвязанных систем регулирования «Промышленность Армении», 1974, № 9.
6. Гантмахер Ф. Р. Теория матриц. М., «Наука», 1966.
7. Лисович И. М. и др. К вопросу оценки области применения газореактивных систем угловой стабилизации космических аппаратов. Со «Управление в пространстве», т. 1, М., «Наука», 1973.
8. Колмогоров А. Н., Фомин С. В. Элементы теории функций и функционального анализа. М., «Наука», 1972.
9. Golomb M., Usdin E. A. A theory of multidimensional servo system. J. Franklin. Ins., № 1, 1952.
10. Gurzadyan G. A. et al. Space astrophysical observatory „Orion-2“. „Astrophis. Space Sci“, 46, 1976.